

음성 신호의 평균 길이에 관계 않고 리듬을 살피는 알고리즘을 성능 비교

84302

김 대현, 윤종숙, 이광형  
송전대학교 전자공학과

### Performance Comparison of Several Pitch Detection Algorithms in Speech Signal

D. H. Kim, K. B. You, K. H. Lee  
Department of Electronic Engineering, Soong Jun University

#### ABSTRACT

Several pitch detection algorithms are studied and compared with the standard pitch detector in a term of some kinds of errors and each of speakers. Various types of errors are defined, and rank the performance of pitch detectors.

#### 5) 전화시스템의 시의 평균 길이의 단점

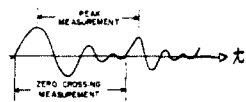


Fig. 1. Two waveform measurements which can be used to define pitch markers.

평균 길이를 다음 세 종류로 분류할 수 있다.

- a) 시간 영역상의 허석
- b) 주파수 영역상의 허석
- c) 주파수 영역상의 허석

#### I 서 론

평균 길이(PD)는 여러 음성 처리 시스템에서 중요한 요소로서 디지털 VOCODER 시스템이 같은 것이다.

제작자들은 평균 길이 알고리즘이 주로 안락의 외나, 상호간의 성능의 우열을 가리는 것은 용이한 일 아니 아니다. 본 논문은 종래의 7가지 평균 길이 알고리즘의 성능을 비교(1) 길이, 고종의 유효성을 평가 기준으로 정의하고, 여러 화자에 대해서 성능을 비교하였다.

평균 길이에는 5가지 단점이 있다.

- 1) glottal 주파수 주기적인 특성을 이용한 점.
- 2) 성도와 glottal 이기화의 상호 작용.
- 3) 우상음 기관증, 시증기의 결정의 단점. (Fig. 1)
- 4) 주성음과 낮은 농도의 우상음을 시도의 구하는 단점.

#### II AUTOCL 방법 (Modified autocorrelation method)

AUTOCL 방법은 Sonndhi의 center clipping

방법이 기본을 둔 스트리밍의 상관 평균 길이이다.

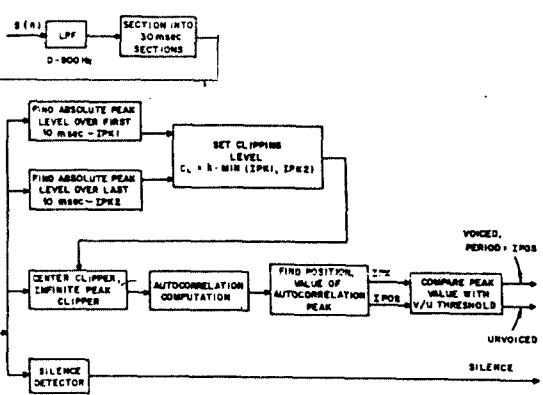


Fig. 2. Block diagram of the AUTOCL pitch detector.

FIR LPF 칸алиング 에러는 30ms(3 sample) 구간에서 약 1ms는 서로 overlapping 하면서 처리된다.

Clipping level  $C_L$ 은 신호의 평균과 차이가 10ms 이내 있는 peak의 평균과 1.64배으로 정한다.

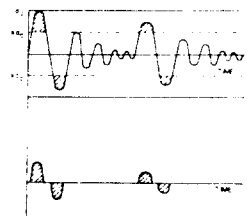


Fig. 3 Clipping artifacts in the signal.

주기 성관함수를 계산하여, 그 최대값의 0.3을 threshold 값으로 설정한다. 무음 감출 노드는 최대 대비의 1/15 이상으로 정한다.

### III C E P 풀법 (Cepstral Method)

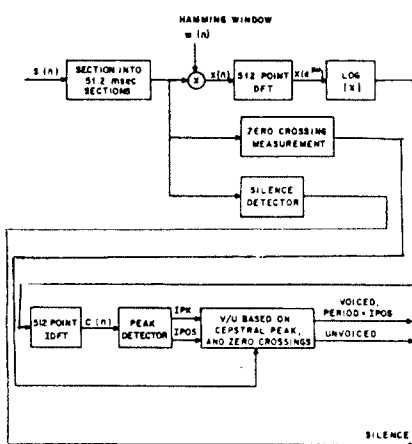


Fig. 4 Block diagram of the CEP pitch detector

512회 샘플(51.2ms)로 나누어진 구간은 해당 원도우로 weighting 되어 있다.

cepstral 풀법에서 주파수 결점되어 있고, threshold 값을 초과하면 유성음이 된다. threshold 의 값을 초과하지 못하면 zero crossing count로 동작이 옮겨진다. 같은 zero crossing count 가 50이상 threshold 를 초과하면 그 구간은 유성음이 된다.

그렇지 않으면 유성음이 되고, 그 다음 cepstrum 을 초과하는 유성음이다.

### V SIFT 풀법

(Simplified Inverse Filter Tracking)

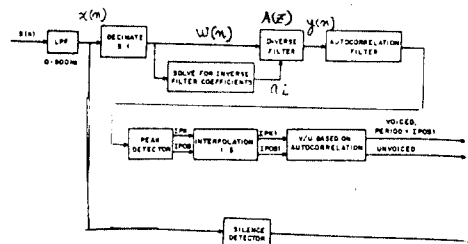


Fig. 5. Block diagram of the SIFT pitch detector.

SIFT 풀법의 기본은 Inverse Filter의 사용이 있다. 10KHz의 샘플링 주파수에서 5:1로 decimation 시켜서 2KHz 샘플링으로 바꾼다. 시로운 그림  $w(n)$ 은 그 입력의 개입  $x(n)$ 의 미리 측정 샘플로 이루어 진다.

inverse filter 는 최소 차승 이차 이산화를 목표화한다.

$$A(z) = 1 + \sum_{i=1}^M a_i z^{-i} \quad (1)$$

inverse filter  $A(z)$  와 이어서 출력을 조소 조성하는 조건으로, LPC 차수  $M$ 은 Levinson 와 자기상관 합수법으로 구해진다.

inverse filter 의 spectrum

$$|A(e^{j\omega T})|^2 = |1 + \sum_{i=1}^M a_i e^{-j\omega T}|^2 \quad (2)$$

의 광으로 정의되고,  $|D(z)|^2 = |\frac{1}{A(z)}|^2$  은

resonance 의 등각을 나타낸다.

$y(n)$ 은 서초 5초 주파수 확장에 따른 곳이 있으므로 다시 자기상관 합수로 계산하여 차이를 감출하고, 1:5로 간( interpolation )하여, 정확한 주파수 주기값을 구하여 유성음을 판단한다.

### V 기반기 시뮬레이션의 위한 성능 비교

V-O 7기와 알고리즘  
AUTOC, CEP 및 SIFT 이 외의 비교법과 비교한다.  
AMDF(Average Magnitude Different Function)  
DARD (Data Reduction Method)  
PPROC(Parallel Processing Method)

## LPC (Linear Predictive Coding)

### V-1 화자의 고속 및 녹음 조건

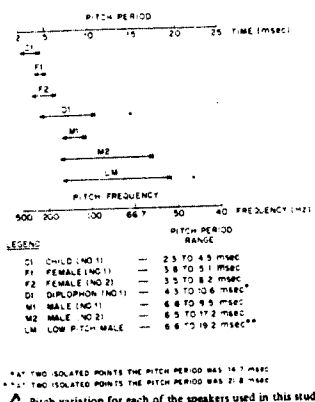


Fig. 6 Pitch variation for each of the speakers used in this study.

실험에 참가한 화자들의 목소리 주기는 디이터 바이스로 부터 Fig. 6 각 글이 나타났다.  
LM, M2, M1은 남성  
F1, F2는 여성  
C1은 아동, D1은 이중 음성 화자이다.  
측정이 사용된 디이터 베이스는 모의기한 나의 단어와 음성을 반으로 이루어진 단문장 2개, 그리고 음성을 포함한 단문장 두 개를 사용한다.  
Fig. 7는 화자들이 디한 과 목소리 주기의 밸런스를 도도이다.

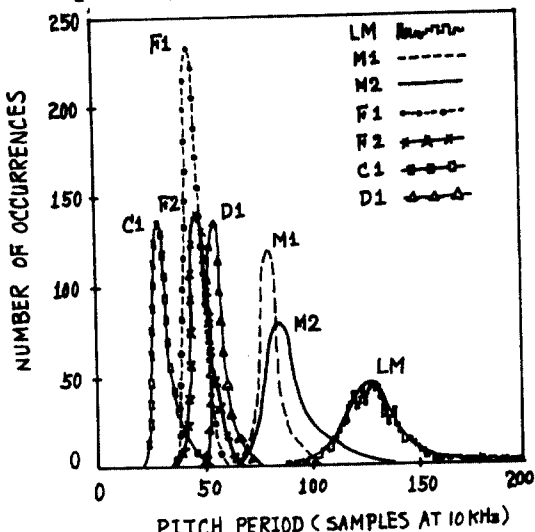


Fig. 7 PITCH PERIOD DISTRIBUTION

### V-2 오차의 종류

도준 목소리 검출 기와 비교하여 오차를 평가한다. 어떤 음성을의 목소리 주기가 표준 목소리 검출로  $P_1$ 이고, 비교 목소리 검출에서  $P_2$  일 때

$$\text{오차 } E(m) = P_1 - P_2 \quad (3)$$

$|E(m)| \geq 1\text{ms}$  (10 samples) 이면

대오차 (Gross Pitch Period Error, G.P.E.)

라고 한다.

소오차 (Fine Pitch Period Error, F.P.E.)는

$$1\text{ms} \leq |E(m)| \text{인 때이다.}$$

목소리 검출 성능 비교에서 대오차의 오차를 사용한다.

1) 대오차수 (Gross Error Count)

녹음된 곡률에서 대오차의 간도수

2) 소오차 (F.P.E.)의 평균치

$$\text{평균 } \bar{E} = \frac{1}{N_e} \sum_{m=1}^{N_e} E(m); \quad (4)$$

3) 소오차의 표준 편차

$$\sigma_E = \sqrt{\frac{1}{N_e} \sum_{m=1}^{N_e} E^2(m) - \bar{E}^2} \quad (5)$$

4) U/V Error Rate

유성음으로 나을 것이 무성음으로 나을 오차율

5) V/U Error Rate

### V-3 오차법 검출 기의 성능 비교

전반적으로 AUTOCL 와 LPC 방법이 오차가 적을 것이다. (Table 1)

CEP는 U/V 오차가 큰 것 외에는, 그 외의 오차는 적을 것이다.

AMDF는 U/V 오차에서 적은 오차를 나타나므로 CEP 와 노원하면 좋은 PD 알고리즘을 얻을 것이다.

SIFT는 AUTOCL 와 CEP 와 노원 방법으로 그는 적으로 LPC 와 같은 방법으로 거의 '갖추어진 오차를 나타낸' 것 이지만,

여기서 사용된 inverse filter 와 이득 차수는 4차이지만, LPC는 41 pole 을 사용하고 있으므로 "우선은 오차를 나타내고 있다고 하겠다.

Table. 1 Kinds of errors vs. comparative performance of PDs

파워 검출기		온자의 종류								
		AUTOC	CEP	SIFT	DARD	PPRC	LPC	AMDF	SUM	
S	UN.	2	1	4	6	5	1	3	22	
P	SM.	1	1	4	2	3	2	3	16	
F	UN.	1	1	2	3	3	1	4	15	
R	SM.	2	4	3	5	6	1	7	28	
U	UN.	2	6	5	4	1	3	1	22	
V	W.B.	2	4	3	3	1	1	1	15	
E	UN.	3	6	4	5	1	2	1	22	
R	SM.	3	6	4	5	2	1	2	23	
O	W.B.	3	1	4	1	2	5	4	18	
R	SM.	3	1	4	1	2	3	3	17	
SUM		26	33	45	39	33	28	34		
등급		1	3	6	5	3	2	4		

표의 수치는 각종 파워 검출기의 오류와 오차가 적은 순위를 나타낸다. (1)

UN은 unsmooth이고, SM은 smoother를 불은 경우이고 WB는 광대의 경우이다.

#### V-4 확장성 검출기 성능 비교

Table. 2 Each speakers vs. comparative performance of PDs

파워 검출기		AUTOC	CEP	SIFT	DARD	PPRC	LPC	AMDF	SUM	
L	M	3	7	1	3	2	5	5	26	
M	1	6	3	6	3	1	3	3	25	
M	2	3	1	6	3	7	5	5	27	
F	1	2	7	6	4	2	5	1	27	
F	2	1	5	5	7	3	2	3	26	
O	1	1	6	7	4	3	2	4	27	
SUM		10	34	23	30	16	22	22		
등급		1	6	4	5	2	3	4		

단계적으로 모든 헤드폰에 대한 AUTOC 등급이 가장 우수한 결과를 도인다.

극적 가온은 LM과 M2 확장성이 대체로 SIFT가 우월한 특성을 나타내고, 전면이 F1,F2,C에 따른 표적이 대체로 일정하다.

이것은 SIFT 이상 Decimation 한 디자인의 세 이즈 그수를 고하고, 차기 상관 합수 값을 고친 드문이다.

#### VI 결론 및 결론

7개의 파워 검출기 알고리즘의 성능을 조작학 확장으로 비교해 본 결과 있다. 그 결과 조판수 영향의 CEPSTRAL 방법과 AMDF 방법을 조합하면 디튠 가능성이 높아 보인다.

확장의 통과성 유상 특성을 나타난 확장은 기초로 이어서, 그 외의 파워 검출기 알고리즘의 우월성을 나누고 있음을 알 수 있다.

AUTOC 방법이 어떤 확장이 디자인 오류가 있는 경우, 성능이 우수함을 나타내고 있다.

#### 참고문헌

- (1) L.R.RABINER, M.J.CHENG, A.E.ROSENBERG and C.A.MCGONEAL, "A Comparative Performance Study of Several Pitch Detection Algorithms", IEEE Trans. vol. ASSP-24 OCT. 1976
- (2) L.R.RABINER, R.J.Schafer, "Digital Processing of Speech Signals", PRENTICE HALL 1978.